

## ◆个案报道

## Gastric sarcomatoid carcinoma with neuroendocrine differentiation: Case report 胃肉瘤样癌伴神经内分泌分化 1例

王 倩<sup>1,2</sup>,徐俊霞<sup>1,2</sup>,王敏哲<sup>1,2</sup>,郭 城<sup>1,2</sup>,雷军强<sup>2</sup>

(1. 兰州大学第一临床医学院,甘肃 兰州 730099;2. 兰州大学第一医院放射科,甘肃 兰州 730013)

[Keywords] stomach neoplasms; neuroendocrine tumors; tomography, X-ray computed

[关键词] 胃肿瘤; 神经内分泌瘤; 体层摄影术,X线计算机

DOI:10.13929/j.issn.1003-3289.2022.07.039

[中图分类号] R735.2; R814.4 [文献标识码] B [文章编号] 1003-3289(2022)07-1114-02

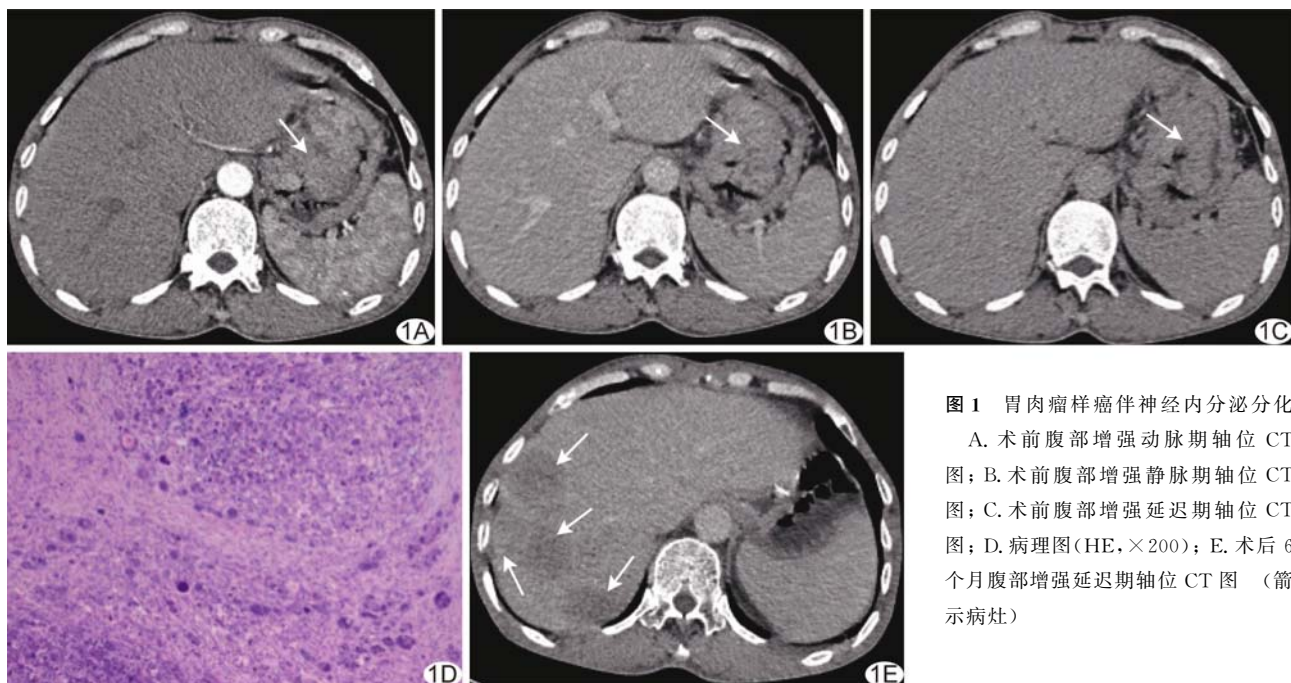


图 1 胃肉瘤样癌伴神经内分泌分化

A. 术前腹部增强动脉期轴位 CT 图; B. 术前腹部增强静脉期轴位 CT 图; C. 术前腹部增强延迟期轴位 CT 图; D. 病理图(HE, ×200); E. 术后 6 个月腹部增强延迟期轴位 CT 图(箭示病灶)

患者男,58岁,无明显诱因全身乏力2月余,伴黑便,外院腹部平扫CT示胃占位性病变;既往体健。查体:贫血貌,左中腹扪及约8cm×5cm包块,质韧,边界清,活动度好,轻压痛,无反跳痛及肌紧张。实验室检查:CA724 10.1 U/ml, 血红蛋白79.0 g/L, 总蛋白57.3 g/L。胃镜:贲门胃体小弯处见巨大隆起,中央凹陷伴溃疡;提示贲门-胃体恶性肿瘤 Borrmann III型。腹部增强CT:贲门胃体小弯侧胃壁黏膜下6.8 cm×4.6 cm团块状软组织密度影,边界尚清,呈不均匀强化,动脉期、静脉期及延迟期CT值分别为65、77及54 HU(图1A~1C),邻近浆膜面毛糙,周围多发小淋巴结;考虑胃癌。行全麻下近端胃癌根

治术,术中见贲门近胃体小弯侧8.0 cm×5.0 cm×5.0 cm肿瘤,无明显包膜,边界尚清,侵及浆膜,D2组淋巴结肿大。术后病理:肿瘤质中,切面呈灰白色;光镜下见少许印戒细胞及部分多形性细胞,可见巨核及奇异核细胞;肿瘤细胞多呈浸润性生长,伴脉管内癌栓及神经束侵犯(图1D)。免疫组织化学:E-Ca(+++), CKP(++~+++), Syn(+), CK1(+), CD56(+), HER2(+), Ki-67(70%+)。病理诊断:胃肉瘤样癌(sarcomatoid carcinoma, SC)伴少量神经内分泌分化。术后患者经化学治疗后好转并出院;6个月后复查腹部增强CT示肝内多发转移(图1E)。

[第一作者] 王倩(1996—),女,甘肃武威人,在读硕士。E-mail: wq17361553811@163.com

[收稿日期] 2022-01-03 [修回日期] 2022-04-05

**讨论** SC 为混合存在癌及肉瘤样成分的双相恶性肿瘤，组织起源尚不清楚，可见于肝、肺、肾上腺、胆囊及消化道等。胃原发性 SC 罕见，患者多为老年男性，临床症状无特异性，且多伴局部溃疡，易误诊；其特征性 CT 表现为近端胃壁局部增厚及肿块形成，多侵犯胃浆膜层或胃裸区，增强扫描动脉期呈不均匀强化，静脉期强化可达峰值，且延迟期强化程度无明显减

低，整体增强模式为延迟强化。本例延迟期强化程度有所减低，可能系存在部分神经内分泌分化所致。鉴别诊断：①胃腺癌，多见于胃窦部，CT 所示密度均匀或不均匀，增强后明显强化；②胃间质瘤，多发生于胃体，良性者 CT 多示密度均匀、增强后轻或中度强化，恶性者密度多不均匀，肿瘤内可见囊变、坏死，增强后不均匀明显强化。最终确诊依靠病理学检查。

## Parapharyngeal space embryonal rhabdomyosarcoma: Case report 咽旁间隙胚胎性横纹肌肉瘤 1 例

戴鑫雨<sup>1,2</sup>, 赵志莲<sup>1,2</sup>, 王 玮<sup>3</sup>, 卢 洁<sup>1,2</sup>

(1. 首都医科大学宣武医院放射与核医学科, 3. 病理科, 北京 100053;  
2. 磁共振成像脑信息学北京市重点实验室, 北京 100053)

[Keywords] parapharyngeal space; rhabdomyosarcoma, embryonal; magnetic resonance imaging

[关键词] 咽旁间隙；横纹肌肉瘤, 胚胎；磁共振成像

DOI: 10.13929/j.issn.1003-3289.2022.07.040

[中图分类号] R739.41; R445.2 [文献标识码] B [文章编号] 1003-3289(2022)07-1115-01

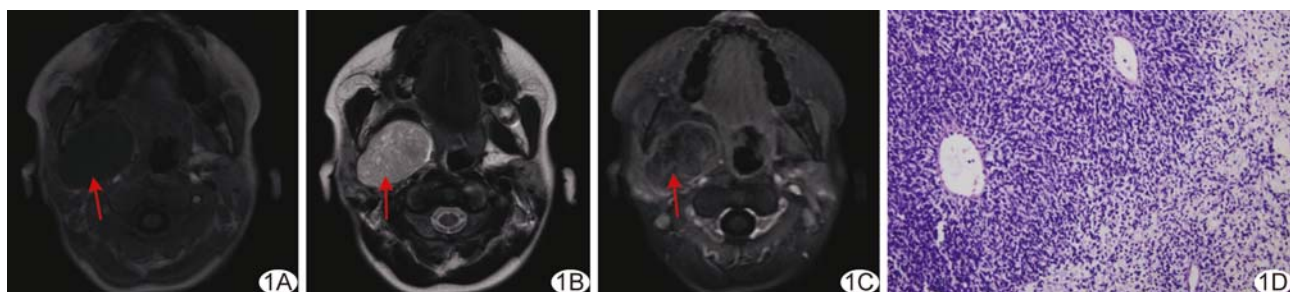


图 1 右咽旁间隙横纹肌肉瘤 A. 颅底轴位 T1WI; B. 颅底轴位 T2WI; C. 颅底增强轴位 T1WI; D. 病理图(HE, ×200) (箭示病灶)

患儿男, 5岁, 反复右侧外耳道出血23天, 伴声嘶、进食呛咳22天;既往体健。查体:右耳部触痛, 咽部充血。纤维喉镜示右侧声带麻痹。实验室检查无特殊。颅底MRI:右咽旁间隙见团块状肿物, 长径约6.59 cm, T1WI呈稍低信号(图1A), T2WI呈高信号(图1B), 边界清, 可见包膜, 向前推移右翼外肌, 向后推移右茎突、右颈内动脉, 向外推移右腮腺, 向内压迫咽腔, 向上破坏右颞骨岩部;增强T1WI示病灶呈不均匀强化(图1C);MRI诊断:(右咽旁间隙)良性病变可能, 腮腺多形性腺瘤?行内镜下经口、经鼻咽旁间隙病变切除术。术后病理:肿瘤呈鱼肉样;光镜下见肿瘤细胞呈星芒状、卵圆形及多角形巢片状生长, 核染色质深, 核分裂象易见(图1D);免疫组织化学:Vim(少许+), Des(散在+), Myo(部分+), MyoD1(+);特殊染色:AB/PAS(+)。病理诊断:(右咽旁间隙)胚胎性横纹肌肉瘤(emphyonal rhabdomyosarcoma, ERMS)。

**讨论** 横纹肌肉瘤(rhabdomyosarcoma, RMS)是起源于原

始间充质细胞的高度恶性肿瘤, 临床罕见, 易误诊;最常见于头颈部(35%~40%), 其他好发部位包括泌尿及生殖系统、四肢等; ERMS 是其最常见亚型。RMS 具有高度侵袭性, 影像学上常可见肿块边界不清、骨质破坏及局部淋巴结肿大等恶性征象;其MRI表现多无特异性, T1WI多呈等或低信号, T2WI多呈高信号, 弥散加权成像(diffusion weighted imaging, DWI)常表现为弥散受限, 增强后常显著强化;不同亚型 RMS 影像学表现亦无显著差异。本例 ERMS 病灶位于右咽旁间隙茎突前, 边界清, T2WI可见包膜, 故术前误诊为良性肿瘤。对发生于咽旁间隙的ERMS 应与以下疾病相鉴别:①腮腺多形性腺瘤, 多位于茎突前间隙, 颈内动脉常向后移位, 肿瘤与腮腺相连, T2WI呈高信号, 病变边缘常有完整包膜, 为其特征性表现;②神经鞘瘤, 多位于茎突后间隙, 颈内动脉常向前移位, 大小不等的实质性区与囊变区相间为其典型表现。发现儿童头颈部软组织肿块时, 即使缺乏明显恶性征象, 仍不能除外 RMS, 需依赖病理学明确诊断。

[第一作者] 戴鑫雨(1998—), 女, 江苏盐城人, 在读硕士, 医师。E-mail: daixinyu127@163.com

[收稿日期] 2022-02-28 [修回日期] 2022-04-18